

Zustandsunabhängige Kontrolle eines Qubits

Markus Fleck, Florian Wodlei

Institut für Theoretische Physik

Juli 2007

Qubit Manipulationen

Zur Realisierung eines Quantencomputers benötigt man zwei Arten von Qubit-Manipulationen:

- Verschränkung der Qubits
- Manipulation der einzelnen Qubits

Diese Manipulationen werden durch unitäre Operatoren dargestellt.

Qubit Manipulationen

Qubit:

$$|\psi\rangle = \alpha |0\rangle + \beta |1\rangle$$

Allgemeine Operation:

$$U|\psi\rangle = \alpha' |0\rangle + \beta' |1\rangle$$

wobei U eine unitäre Matrix ist.

Hamilton und Propagator

$$H = H_o + \varepsilon_x(t)\sigma_x + \varepsilon_z(t)\sigma_z$$

wobei

$$H_o = \varepsilon_o\sigma_z$$

Daraus folgt die unitäre Transformation

$$U(t_f, 0) = T(e^{-\frac{i}{\hbar} \int_o^{t_f} dt' H(t')})$$

Ziel

$\varepsilon_x(t)$ und $\varepsilon_z(t)$ zu finden, für welches $U(t_f, 0) = \mathcal{O}$ wird. Ohne $\psi(t=0)$ vorzugeben.

wobei \mathcal{O} die gewünschte unitäre Transformation ist. (z.B. X-Gatter)

Optimierung

Zur Optimierung verwenden wir das Kostenfunktional

$$\mathcal{J} = -|\text{Tr}(\mathcal{O}^\dagger U(t_f, 0))|^2 + \alpha \int_0^{t_f} (\varepsilon_x^2(t) + \varepsilon_z^2(t)) dt$$

α Gewichtungsfaktor

Dynamik des Propagators

$U(t, 0)$ wird in einem zwei-Niveau System durch eine komplexe 2×2 Matrix dargestellt.

Die Trajektorie ihrer 8 Variablen ist für gegebene Felder $\varepsilon_x(t)$, $\varepsilon_z(t)$ gegeben durch:

$$i\hbar \frac{\partial}{\partial t} U = HU$$

mit der Anfangsbedingung

$$U(0, 0) = \mathbb{1}$$

Numerische Propagation

Dieses gekoppelte Differentialgleichungssystem kann z.B. mittels Runge Kutta Verfahren vierter Ordnung gelöst werden.

→RK4.c (Numerical Recipes)

Numerische Optimierung

Durch die nötige Diskretisierung wird das Zeitintervall der Propagation in N Teilschritte zerlegt für die jeweils ein Startwert $\varepsilon_x(t_j)$, $\varepsilon_z(t_j)$ vorgegeben wird.

Diese $2N$ Variablen können nun mittels Conjugate Gradient Processing für das Kostenfunktional variiert werden. Dieses Verfahren benötigt sowohl den Wert des Kostenfunktionals wie auch dessen Ableitungen nach allen Variablen $\varepsilon_i(t_j)$.

→ `frprmn.c` (Numerical Recipes) Polak-Ribiere/Fletcher-Reeves.

```
void frprmn(double p[], int n, double ftol, int *iter, double *fret,
double (*func)(double p[]), void (*dfunc)(double p[], double dp[]))
```

p[].....zu variierendes Variablenfeld (Startwerte initialisieren)

n.....Anzahl der Variablen

ftol....Genauigkeit

iter....Output der benötigten Iterationen

fret....Funktionswert am errechneten Minimum

func....Berechnung des Funktionswertes (Kostenfunktional)

dfunc...Ableitungen nach den Variablen

Kostenfunktional

$$\mathcal{J} = - \underbrace{|\text{Tr}(\mathcal{O}^\dagger U(t_f, 0))|^2}_{|c|^2} + \alpha \underbrace{\sum_{i=0}^{N-1} (\varepsilon_x^2(t_i) + \varepsilon_z^2(t_i)) \Delta t}_d$$

Variation:

$$\frac{\partial d}{\partial \varepsilon_i(t_k)} = 2\varepsilon_i(t_k) \Delta t$$

$$\frac{\partial |c|^2}{\partial \varepsilon_i(t_k)} = \frac{\partial c}{\partial \varepsilon_i(t_k)} c^* + \frac{\partial c^*}{\partial \varepsilon_i(t_k)} c$$

wobei

$$\frac{\partial c}{\partial \varepsilon_i(t_k)} = \text{Tr} \left(\mathcal{O}^\dagger \frac{\partial U}{\partial \varepsilon_i(t_k)} \right)$$

Kostenfunktional

$$U = \prod_{i=1}^N e^{-\frac{i}{\hbar} \Delta t H(t_i)}$$

D.h.

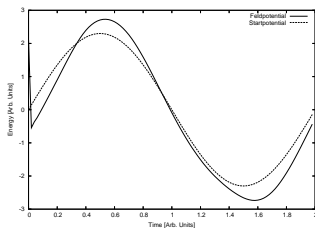
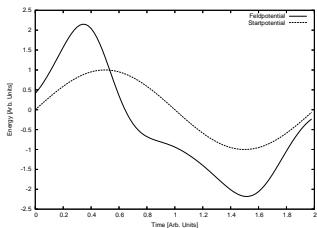
$$\frac{\partial U}{\partial \varepsilon_i(t_j)} = \underbrace{U(t_f, t_{j+1})}_{U(t_f, 0)U^\dagger(t_j, 0)} \left(-\frac{i\Delta t}{\hbar} \sigma_i \right) U(t_{j-1}, 0)$$

X-Gatter

$$\begin{pmatrix} 0 & 1 \\ 1 & 0 \end{pmatrix}$$

$$\begin{pmatrix} 0,1 + 0,2i & 0,17 - 0,96i \\ -0,17 - 0,96i & 0,1 - 0,2i \end{pmatrix}$$

$$J = 0.31, N = 100, t_f = 2, \alpha = 0.001, A_x = 1, A_z = 2.3, \varepsilon_o = 1$$

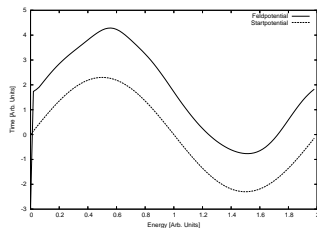
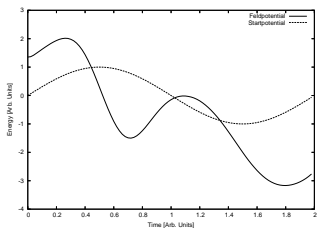


Y-Gatter

$$\begin{pmatrix} 0 & -i \\ i & 0 \end{pmatrix}$$

$$\begin{pmatrix} -0,09 - 0,09i & 0,99 - 0,1i \\ -0,99 - 0,1i & -0,09 + 0,09i \end{pmatrix}$$

$$J = 0.12, N = 100, t_f = 2, \alpha = 0.001, A_x = 1, A_z = 2.3, \varepsilon_0 = 1$$

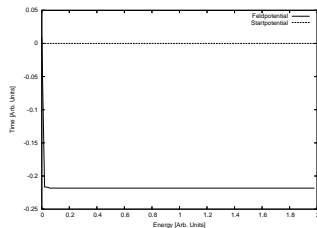
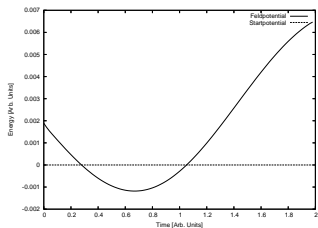


Z-Gatter

$$\begin{pmatrix} 1 & 0 \\ 0 & -1 \end{pmatrix}$$

$$\begin{pmatrix} -0,001 - 0,999i & 0,003 - 0,0009i \\ -0,003 - 0,0009i & -0,001 + 0,999i \end{pmatrix}$$

$$J = 0.00013, N = 100, t_f = 2, \alpha = 0.001, A_x = 0, A_z = 0, \varepsilon_o = 1$$

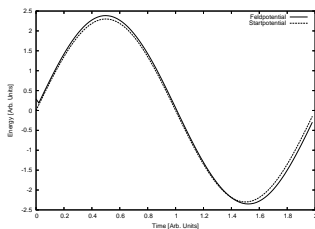
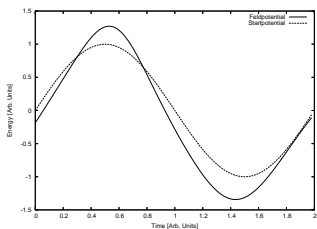


Hadamard-Gatter

$$\begin{pmatrix} \frac{1}{\sqrt{2}} & \frac{1}{\sqrt{2}} \\ \frac{1}{\sqrt{2}} & -\frac{1}{\sqrt{2}} \end{pmatrix}$$

$$\begin{pmatrix} -0,05 - 0,59i & -0,02 - 0,81i \\ 0,02 - 0,81i & -0,05 + 0,59i \end{pmatrix}$$

$$J = 0.12, N = 100, t_f = 2, \alpha = 0.001, A_x = 1, A_z = 2.3, \varepsilon_o = 1$$



Zusammenfassung

- Optimierung greift direkt am Propagator an (zustandsunabhängig)
- findet ohne Verwendung eines Lagrange Multiplikators statt
- Runge Kutta kann im 2-Niveau System analytisch ersetzt werden.